

## تغییر انتخابی استحکام فوم سلول بسته آلایز Al-Si-Cu و مقایسه آن با استحکام استخوان تازه گوسفند \*

مقاله پژوهشی

سید محمد حسین میرباقری<sup>(۲)</sup>آذین آل صفر<sup>(۱)</sup>

**چکیده** هدف از پژوهش حاضر تهیه استخوان مصنوعی از فوم سلول بسته فلزی با استحکامی نزدیک به استخوان طبیعی است. فوم فلزی از آلایز A356 آمریکایی با مفادیری مشخص از فلز مس تهیه شد. با عملیات حرارتی پیرسازی روی این فوم آلومینیم آلایزی می توان به استحکامهای فشاری و جذب انرژی شکست مورد نظر طراح، رسید. نتایج آنالیز میکرو سکوپ الکترونی نشان داد طی عملیات پیرسازی در دمای ۱۶۵ درجه سلسیوس و زمانهای مختلف ۲، ۷، ۱۵ و ۲۴ ساعت، ذرات مس حل شده در دیواره های نازک حباب های جامد فوم Al-Si-Cu توانسته اند با تجزیه مناطق GP غنی از مس، فازهای شبه پایدار و بسیار ریز  $\theta''$  و  $\theta'$  را ایجاد نمایند. تعداد این فازهای شبه پایدار در واحد سطح، با عملیات پیرسازی افزایش می یابد و سبب بالا رفتن شدید استحکام استخوان مصنوعی می شود. برای صحت سنجی مقادیر استحکام فشاری و مقایسه با استخوان تازه ساق، نمونه های استخوان مصنوعی در زمان های پیرسازی فوق، تهیه شدند و همراه با استخوان تازه یک ساق کامل گوسفند، مقاومت به بارگذاری فشاری آن ها در کنار یکدیگر اندازه گیری شد و مورد مقایسه قرار گرفت. نتایج نشان داد که نمونه مربوط به سیکل پیرسازی در دمای ۱۶۵ درجه سلسیوس به مدت زمان ۱۵ ساعت، به ترتیب دارای استحکام الاستیک و انرژی شکست  $31 \text{ MPa}$  و  $13/60 \text{ MJ/m}^3$  نزدیک به استحکام استخوان طبیعی،  $23 \text{ MPa}$  و  $12/00 \text{ MJ/m}^3$  است و با افزایش زمان پیرسازی بیشتر، استحکام مجدداً افت می کند.

**واژه های کلیدی** فوم آلومینیم سلول بسته، استخوان مصنوعی، آلایز Al-Si-Cu، عملیات پیرسازی، استحکام.

## مقدمه

در برابر تنش فشاری مقاومت بالا، در برابر تنش کششی مقاومت کمتر و در برابر تنش های برشی مقاومت بسیار کمی از خود نشان می دهد. بخش آلی استخوان شامل فیبرهای کلاژن نوع یک، استئوپنتین (Osteopontin) و استئوکالسن (Osteocalcin) است [4]. با این که استخوان ها به طور کلی شکننده هستند اما به دلیل وجود کلاژن، الاستیسیتة خوبی از خود نشان می دهند. فیبرهای کلاژن نوع یک به ماتریکس استخوان الاستیسیتی، انعطاف پذیری و استحکام کششی می بخشد [5]. استحکام بافت استخوان وابسته به حضور کلاژن و هیدروکسی آپاتیت در کنار یکدیگر است [6]. استحکام استخوان، وابسته به چگالی مواد معدنی آن است که به آن BMD (Bone Mineral Density) گفته می شود. فاکتورهای دیگری مانند ساختار خود استخوان، بازسازی استخوان (Bone Remodeling) و هم چنین کیفیت

بافت استخوان، بافتی پویا و پر عروق است [1]. استخوان ها وظیفه ایجاد استحکام مکانیکی و تسهیل حرکت جاندار را برعهده دارند [2] این استحکام تابع عناصری هم چون منیزیم، کلسیم و فسفر هست [3]. بافت استخوان از ماتریکس خارج سلولی و سلول های استخوانی تشکیل شده است. ماتریکس خارج سلولی نیز از دو بخش آلی و غیر آلی تشکیل شده است. حدود ۲٪ استخوان از آب، ۸۸٪ از پروتئین و ۷۱٪ از مواد معدنی تشکیل شده است. بخش معدنی شامل یون های کلسیم، کربنات کلسیم و فسفات است. این بخش استخوان، تحت عنوان هیدروکسی آپاتیت با فرمول شیمیایی  $\text{Ca}_{10}(\text{PO}_4)_6(\text{OH})_2$  شناخته می شود. این ماده حدوداً ۶۴٪ وزن استخوان را تشکیل می دهد به همین دلیل قدرت و سختی استخوان به وجود آن وابسته است [4]. استخوان

\* تاریخ دریافت مقاله ۱۴۰۰/۲/۱۵ و تاریخ پذیرش آن ۱۴۰۰/۸/۱۸ می باشد.

(۱) دانش آموخته دانشکده مهندسی مواد و متالورژی، دانشگاه امیرکبیر تهران.

(۲) نویسنده مسئول، دانشیار دانشکده مهندسی مواد و متالورژی، دانشگاه امیرکبیر تهران.

[10-13].

به طور کلی برای تولید ایمپلنت های اورتو پدی که توانایی تحمل بار را داشته باشند، فوم های با تخلخل بالا، نسبت به فوم های فلزی سفت ارجحیت دارند. بیشتر بودن چقرمگی فلز های زیست فعالی چون تیتانیوم، آلومینیوم و فولاد زنگ نزن نسبت به استخوان طبیعی، از دلایل اصلی استفاده از این فلز ها برای تولید ایمپلنت است. تفاوت بالای چقرمگی ایمپلنت های فلزی و استخوان طبیعی اطراف آن، باعث کاهش توزیع بار در قسمتی می شود که استخوان وجود دارد [14] و این مهم، باز جذب استخوان پس از کاشتن ایمپلنت را به دنبال دارد. دلیل دیگر این است که فوم های فلزی ساخته شده از مواد زیست فعال، باعث حفظ بیشتر خواص فیزیولوژی فلز مورد نظر (مانند زیست فعال بودن و مقاومت به خوردگی بالا هنگام مواجهه با مایع داخلی بدن) می شود.

هم چنین وجود حفره های نیمه باز روی سطح خارجی ایمپلنت ساخته شده از فوم های سلول بسته، مکان های خوبی برای رشد دوباره استخوان خواهند بود و گردش خون و عبور مایع داخلی بدن به داخل ایمپلنت را ممکن می سازند. یکی از مزایای اصلی فوم های سلول بسته در مقایسه با فوم های سلول باز، چقرمگی بیشتر آن ها هنگام بارگذاری ضربه ای است. ایمپلنت ها تحت تأثیر بارگذاری های ضربه ای متفاوتی مانند تصادف، لیز خوردن، افتادن، ضربه های وارد بر پا هنگام دویدن و... قرار می گیرند. فوم های سلول بسته، به طور کلی جذب انرژی و مقاومت به ضربه بهتری را از خود نشان می دهند [14,15].

برای استفاده از فوم های سلول بسته پایه آلومینیومی به عنوان ایمپلنت های استخوان، خصوصاً از جهت زیست سازگاری با محیط بدن، به سال ها تحقیق و پژوهش نیاز است. بدون شک، یکی از مراحل این بررسی ها، مطالعه خواص مکانیکی این نوع فوم ها و هم چنین مقایسه آن با خواص مکانیکی استخوان طبیعی است. تا به امروز، پژوهش های زیادی در این خصوص انجام شده است. کلوشانی و همکاران [16] پاسخ بیومتریال های ساخته شده از

استخوان بر استحکام آن تأثیر گذار است. امروزه اندازه گیری BMD امکان پذیر است و هم چنین برای کمی کردن مفهوم ساختار استخوان از روش هایی از قبیل (PQCT Peripheral Quantitative Computed Tomography) و (MRI Magnetic Resonance Imaging) استفاده می شود. هم چنین مفهوم کیفیت استخوان (Bone Quality) مفهوم دقیقی نیست و به مواردی چون هندسه و خواص مواد تشکیل دهنده استخوان وابسته است. به همین خاطر محققان همچنان به دنبال راهی برای کمی کردن این مفهوم ها هستند [7]. به صورت کلی، شکستن استخوان، سه دلیل اصلی دارد: ۱) وارد شدن تنش به طور مداوم در طی زمان طولانی، ۲) وارد شدن تنش به طور ناگهانی و ۳) شکستن استخوان به دلیل بیماری [8,9]. عموماً در مواردی که شکست استخوان منجر به تعویض استخوان شود، حوزه مهندسی مواد و بیو مواد به عنوان ایمپلنت های فلزی، مطرح می شود. از این رو مهندسان مواد با تکیه بر علم مواد و مهندسی پزشکی با تکیه بر شناسایی ویژگی های مهندسی استخوان، تلاش دارند ایمپلنت های استخوانی را توسعه دهند که به خواص استخوان طبیعی بسیار نزدیک باشد [9]؛ بنابراین در زمینه تولید استخوان مصنوعی به عنوان یک جایگزین برای استخوان های شکسته، تلاش های زیاد شده است و امروزه ایمپلنت های پایه تیتانیوم، در جراحی های ترمیم استخوان های شکسته و فرسوده بسیار رایج هستند؛ ولی در مواردی هم چون قسمت میانی ساق پای خرد شده، که نیاز به یک اتصال میانی بین دو طرف ساق کورتیکال (Cortical) پا باشد، هنوز تحقیقات ادامه دارد. جدا از جنبه های پزشکی، از دیدگاه مهندسی، تهیه اتصالی استخوانی که بتواند تنش های ایجاد شده در ساق پا را بین دو طرف استخوان مفصلی تحمل کند، هنوز در حال توسعه است. امروزه یکی از موارد جایگزین این اتصال مصنوعی، فوم های فلزی پایه منیزیم آلومینیوم منیزیم و فولاد زنگ نزن، تیتان و امثال آن ها هستند. این فوم های آلایز های فلزی که عموماً به صورت تخلخل باز یا بسته هستند، به علت تخلخل و سبکی وزن و هم چنین نسبت استحکام به دانسیته بالا، توجه بسیاری از محققان را به عنوان مواد پیشرفته به خود جلب کرده اند

تهیه شده و ۳) تهیه استخوان طبیعی و تازه از ساق پای گوسفند.

در قدم اول برای تهیه فوم فلزی سلول بسته از آلیاژ مورد نظر به صورت بلوک سه بعدی ۲۵ در ۲۵ در ۱۵ سانتی متر، مطابق تصاویر شکل (۱)، به ترتیب ابتدا مذاب A356 با افزودن ۱ درصد وزنی گرانول های فلز کلسیم، به طور قابل توجهی ویسکوز می شود. سپس مقادیر مشخص مس خالص (مس کابل برق با خلوص ۹۹/۹۸ درصد) به صورت تکه های کوچک به مذاب افزوده می شود و توسط یک همزن گرافیتی با دور ۷۰۰ دور بر دقیقه هم زده می شود. پس از ۱۰ دقیقه هم زدن، مس کاملاً در مذاب حل می شود. سپس بلافاصله پودر  $TiH_2$ ، با اندازه ذرات ۴۵-۵۰ میکرون با خلوص بالای ۹۹ درصد، به مذاب آلیاژ مورد نظر در دمای ۶۸۰ درجه سلسیوس اضافه می شود و با سرعت ۱۴۰۰ دور بر دقیقه، مذاب به مدت ۵۰ ثانیه هم زده می شود تا این پودر حباب ها قبل از آزاد شدن گاز خود، در سرتاسر مذاب پخش شود. در قدم بعدی مذاب، قبل از پف نمودن، از بوتنه همزن بلافاصله به قالب مکعبی زیر آن منتقل می شود و با کاهش ۳۰ درجه ای حرارت، به مدت ۸ دقیقه زمان داده می شود تا مذاب (مانند کیک) پف کند. هنگامی که ارتفاع مذاب در قالب به بیش از ۲/۵ برابر برسد، قالب فلزی حاوی فوم فلزی مذاب، بدون این که حباب ها بترکند یا از بین بروند، به اتاقک خنک کننده منتقل و سریع سرد می شود. در این صورت، تمام حباب های مذاب فلزی به حباب های جامد فلزی تبدیل می شود و در نهایت بلوک فوم فلزی از قالب خارج و با رسیدن به دمای محیط، توسط اره به ابعاد لازم برش داده می شود.

در مرحله دوم از پژوهش حاضر، پس از تهیه بلوک های بزرگ فوم A356-xwt.%Cu، منشورهایی به ابعاد نزدیک به ابعاد قسمت ساق استخوان گو سفند، بر شکاری می شوند و در کوره عملیات حرارتی قرار داده می شوند و مطابق سیکل شکل (۲) تحت عملیات پیرسازی در دمای ۱۶۵ درجه سلسیوس و زمان های ۲، ۷، ۱۵ و ۲۴ ساعت قرار می گیرند.

فوم های سلول بسته آلومینیومی را در برابر ضربه های سرعت پایین بررسی کردند. میرزاعلی و همکاران [17] برای تقلید نحوه سازگاری ریزساختار استخوان در اثر اعمال نیرو، به علت تشابه استخوان تورتیغه با فوم های سلول بسته، از فوم های سلول بسته آلومینیومی استفاده کردند. در تحقیقی دیگر، میرزاعلی و همکاران [18] تأثیر توزیع حفرات داخلی بر روی خواص الاستیک فوم های سلول بسته آلومینیومی را بررسی کردند و نتایج را با استخوان تورتیغه مقایسه کردند.

فوم های فلزی بر پایه آلومینیم امروزه به نحو شگفت انگیزی در حال توسعه هستند و یکی از زمینه های تحقیقاتی در این مورد، زمینه تولید استخوان مصنوعی از این فوم ها در بافت بدن است. چراکه باتوجه به دانسیته پایین و پوشش دهی توسط سرامیک های پزشکی به راحتی به دانسیته استخوان طبیعی می رسند و تخلخل موجود در آن ها باعث جذب انرژی الاستیک بالایی می شود که از ترک برداشتن آن ها جلوگیری می کند. فوم های فلزی با تغییر ترکیب شیمیایی و عناصر آلیاژی می توانند به استحکام استخوان طبیعی نزدیک شوند و حتی مقدار استحکام فشاری آن ها به گونه ای طراحی شود که نزدیک و یا اندکی کمتر از بافت متخلخل استخوان طبیعی باشد؛ تا در حوادث فقط استخوان مصنوعی تخریب شود و استخوان طبیعی سالم بماند [19,20]. از این رو در کار پیش رو سعی شده است با انحلال مس در آلیاژ پایه آلومینیم و ایجاد ساختار متخلخل سلول یا حباب بسته، فوم فلزی تهیه شود که توسط عملیات حرارتی روی آن بتوان مقدار استحکام فشاری و جذب انرژی شکست آن را به استخوان طبیعی نزدیک نمود.

### روش پژوهش

به منظور ساخت استخوان مصنوعی از فوم فلزی متخلخل سلول بسته، در قدم اول از آلیاژ A356 با ترکیب شیمیایی جدول (۱) استفاده شده و به آن بین ۳ الی ۶ درصد مس زده شده است. آلیاژ جدید که در اثر افزودن این مقدار کلیدی مس تهیه شده است، به راحتی قابلیت عملیات حرارتی پیرسازی را دارد؛ لذا این تحقیق در سه مرحله انجام گرفت:

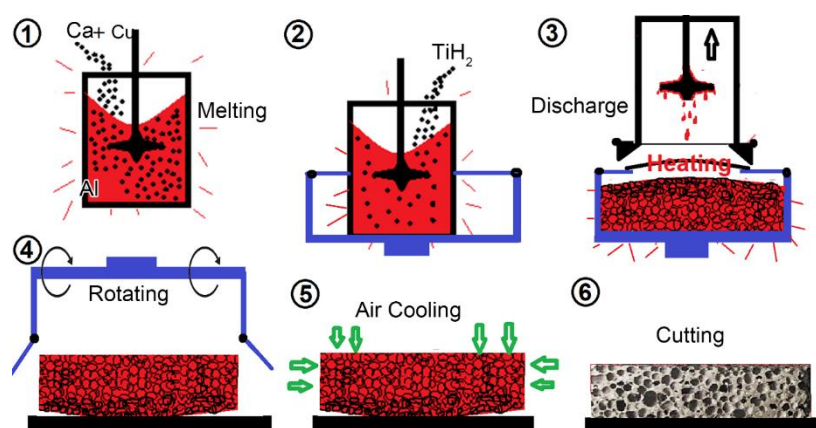
(۱) تهیه فوم فلز سلول بسته، (۲) عملیات حرارتی فوم

پایین ساق، مقطع برش، بیشتر به هندسه بیضی نزدیک است. طول ساق برش خورده حدود ۷۲ میلی متر است؛ لذا ساق از پایین به بالا با یک شیب بسیار کوچکی باریک شده است ولی این کاهش مقطع بسیار اندک است. این مطلب با نشان دادن مقطع‌های مذکور در راستای محور استخوان، در شکل (۴) به خوبی مشخص است. بنابراین در ساخت نمونه استخوان مصنوعی از فوم فلزی مورد نظر، سعی شده است تا این تغییر سطح مقطع با شیب اندک لحاظ شود.

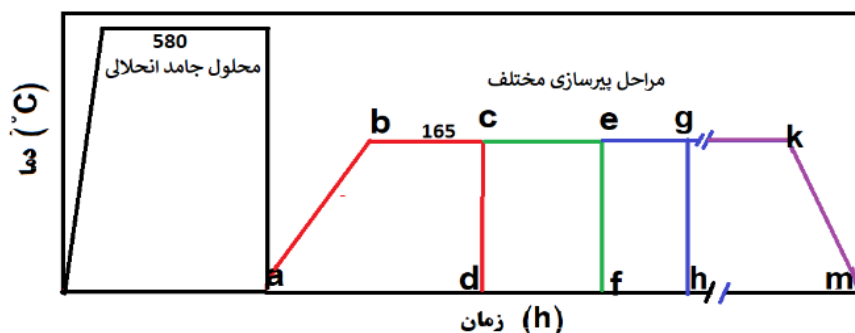
در مرحله سوم، برای تهیه نمونه از استخوان ساق پای گوسفند باید ملاحظات را در نظر گرفت. چون ساق استخوان طبیعی کاملاً استوانه‌ای شکل با مقطع دایره نیست، باید دقیقاً ابعاد مقاطع و شیب استخوان مشخص شود؛ لذا ابتدا قسمت صاف استخوان تازه پای گوسفند بریده شد و مقطع برش استخوان در بالا و پایین ساق، اندازه‌گذاری شد. شکل (۳) نمایی از برش عرضی استخوان را نشان می‌دهد. مشاهده می‌شود در قسمت بالای ساق منشوری (استوانه‌ای) گوسفند، مقطع برش به هندسه دایره نزدیک است و در

جدول ۱ آنالیز ترکیب شیمیایی آلیاژ پایه آلومینیم آمریکایی A356 بر حسب درصد وزنی

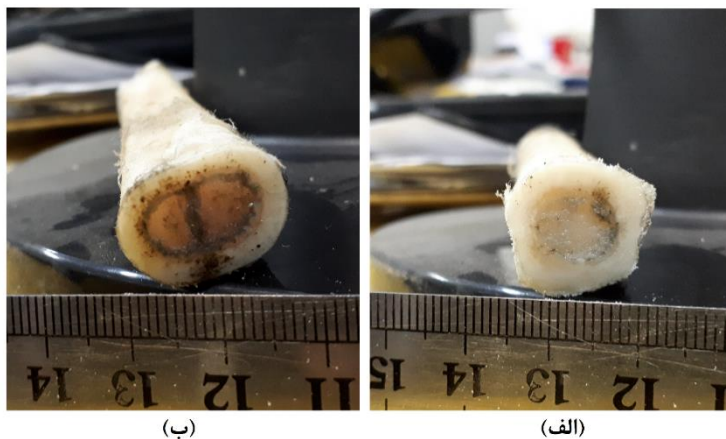
Al	Zn	Fe	Cu*	Ti	Mn	Mg	Si	ترکیب
باقی	۰/۰۵	۰/۱۲	۰/۱۰	۰/۰۲	۰/۵۰	۰/۱۱	۶/۵۵	درصد وزنی
* قبل از تولید فوم مقدار مس به حدود ۴/۲ درصد وزنی می‌رسد و سپس عملیات فوم‌سازی شروع می‌شود								



شکل ۱ مراحل تهیه بلوک فوم آلیاژ A356+xwt%Cu به روش ریخته‌گری



شکل ۲ سیکل عملیات حرارتی انیل انحلالی و پیرسازی برای فوم سلول بسته آلیاژ A356+xwt%Cu



شکل ۳ نمایش از مقطع برش استخوان تازه ساق پای گوسفند در پایین و بالای ساق، (الف) مقطع بالای ساق که به دایره نزدیک است، (ب) مقطع پایین ساق که به بیضی نزدیک است



شکل ۵ نمایش از قرارگیری کاملاً عمودی استخوان تازه ساق پای گوسفند در راستای محور فک دستگاه فشار

لازم به ذکر است برای برش مقطع عرضی استخوان، از اره نواری مجهز به لیزر استفاده شد تا مسیر برش کاملاً عمودی باشد. در این صورت، هر دو سطح برش عرضی کاملاً موازی و نسبت به محور ساق استخوان، کاملاً عمود هستند. این مطلب پس از قرارگیری استخوان ساق گوسفند برش خورده در فک دستگاه فشار، مشخص می شود. شکل (۵) نمایشی را از قرارگیری استخوان برش خورده که کاملاً عمودی در راستای اعمال نیروی فکها قرار گرفته است، نشان می دهد.

در انتها استخوان مصنوعی متشکل از نمونه های فومی آلومینیم  $\text{Cu A356-x wt.\%}$  خام و عملیات حرارتی شده، متناسب با ابعاد استخوان طبیعی گوسفند تراشکاری شد. سپس همه نمونه های فوم فلزی (نماینده استخوان های مصنوعی) و همچنین استخوان تازه گوسفند (نماینده استخوان طبیعی) تحت آزمون فشار مطابق استاندارد ISO 13314-2011 (۲۱) که مخصوص مواد متخلخل است، قرار گرفت. در این آزمون فشار تک محوری، سرعت حرکت فک ۲۰ میلی متر بر دقیقه در نظر گرفته شد.

### نتایج و بحث

شکل (۶) تصاویری از مقطع فوم آلیاژی مورد نظر را در مقیاس ماکروسکوپی و میکروسکوپی نشان می دهد. دانسیته فوم های سلول بسته، تابع تعداد حفره ها در واحد سطح و ضخامت دیواره حفره ها است. از این رو با اندازه گیری وزن و

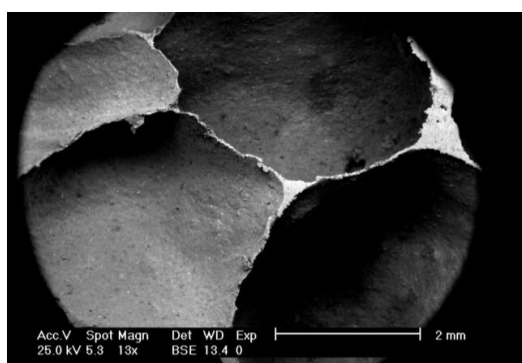


شکل ۴ نمایش از مقطع استخوان تازه ساق پای گوسفند در راستای محور ساق، برای تشخیص شیب استخوان

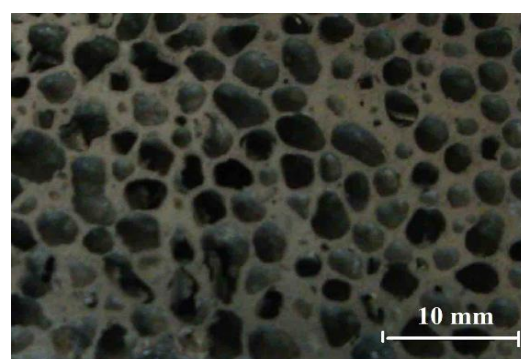
محاسبه نمود. در قدم بعدی با تشخیص تعداد حباب‌ها در سطح مقطع و تعیین قطر متوسط آن‌ها، می‌توان توزیع حباب‌ها با محدوده قطر مشخص (بین کم‌ترین قطر ۰/۵ میلی‌متر تا بیش‌ترین ۶ میلی‌متر) را به‌راحتی توسط محاسبات آماری تعیین کرد. شکل (۸) توزیع و تعداد حباب‌های جامد در واحد سطح را، بسته به اندازه حباب‌ها (قطر متوسط حباب) برای فوم تولید شده در پژوهش حاضر نشان داده است. بنابراین با تحلیل آماری که روی اندازه قطر حباب‌ها شد، می‌توان در یک برآورد کلی، قطرهای غالب حباب‌ها را بین ۲/۵ الی ۳/۵ میلی‌متر، برای آلیاژ A356-xCu wt.% توسعه داده شده در پژوهش حاضر، برآورد کرد. همچنین تعداد حفره‌ها بر واحد اینچ یا PPI در محدوده ۸-۹ PPI است و دانسیته نمونه‌های فومی مختلف نشان می‌دهد که دانسیته بین ۶/۰ الی ۰/۷ گرم بر سانت‌متر مربع متغیر است.

سپس تعیین حجم فوم‌ها، دانسیته ظاهری فوم آلیاژ آلومینیومی تهیه شده در پژوهش حاضر، ۰/۶۷ گرم بر سانتی‌مترمکعب (با خطای حدود ۲٪) تعیین شده است. بررسی آنالیز تصویری از مقطع فوم‌ها نشان می‌دهد که تعداد حباب‌ها با توجه به قطر آن‌ها متفاوت است. لذا ابتدا باید توزیع حباب‌ها به صورت آماری مشخص شود و تعداد حفره یا حباب بر واحد اینچ (برای خرید و انتخاب مهندسی فوم، دو معیار دانسیته و تعداد حفره بر واحد اینچ مورد توجه قرار می‌گیرد) مشخص شود. از این‌رو مقادیر عددی استحکام استخوان مصنوعی تهیه شده از فوم‌های فلزی، کاملاً تابع تعداد حفره بر واحد اینچ و دانسیته است.

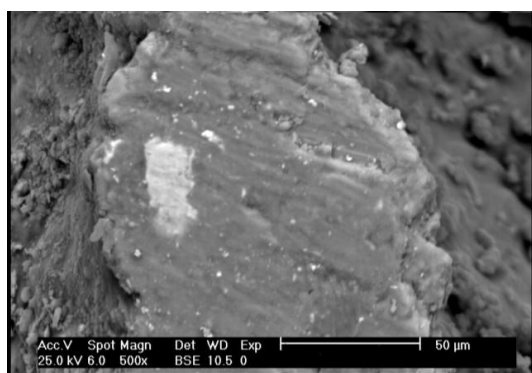
در یک آزمون آماری به کمک تصویربرداری از مقطع فوم‌های فلزی و قرائت آن‌ها در نرم‌افزار J-Image می‌توان با حذف مناطق داخلی حباب‌ها، مطابق شکل (۷)، فقط یال‌ها و نقاط تماسی حباب‌های جامد (برش مقطع آن‌ها) را به خوبی تفکیک نمود و مساحت و قطر حباب‌ها را تک‌به‌تک



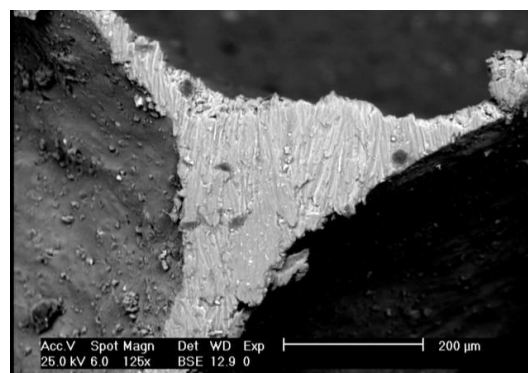
(ب)



(الف)



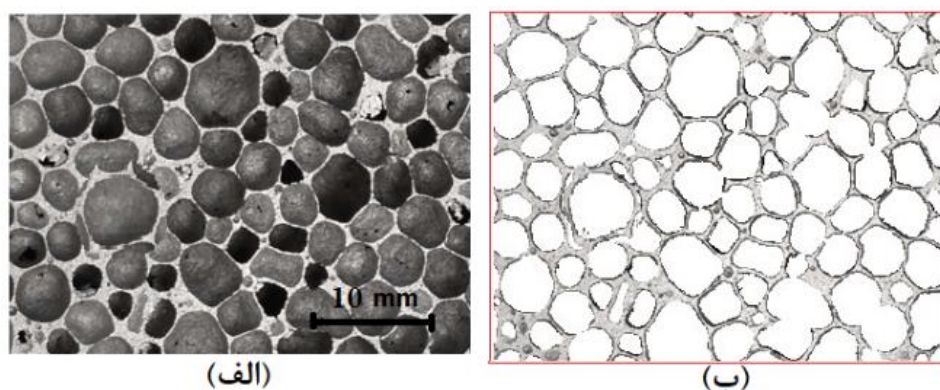
(د)



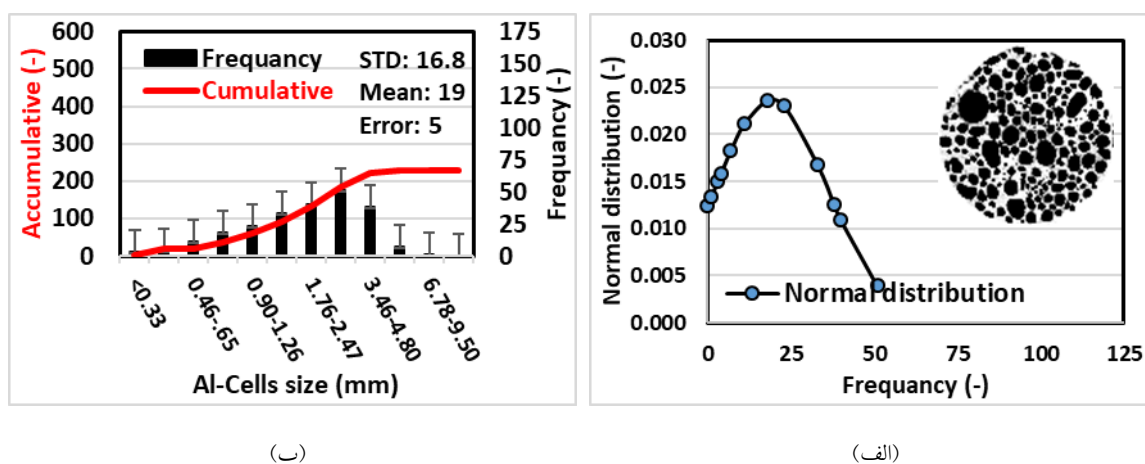
(ج)

شکل ۶ مشاهده مقطع فوم آلیاژ سلول بسته تهیه شده در پژوهش حاضر: (الف و ب) تصاویر ماکروسکوپی، (ج و د) تصاویر میکروسکوپی که در آن، مناطق برخورد حباب‌ها (فلات) و برش دیواره حباب‌های جامد تقریباً کروی مشخص است





شکل ۷ تبدیل تصاویر واقعی از مقطع برش فوم فلزی (تصاویر سمت چپ) به تصاویر مجازی (تصاویر سمت راست) ب کمک نرم افزار J-Image برای تعیین تعداد و اندازه حباب‌ها و تعیین توزیع آماری آن‌ها

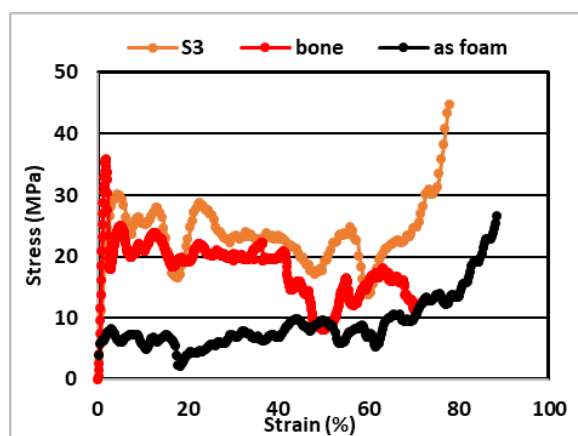


شکل ۸ توزیع آماری حباب‌ها در سطح مقطع فوم‌های فلزی تهیه شده در پژوهش حاضر برای استفاده در استخوان مصنوعی (الف) توزیع نرمال حباب‌ها برحسب تعداد تکرار هر حباب، (ب) تعداد تجمعی و مجزای حباب‌ها برحسب قطر تقریبی هر حباب

درجه سلسیوس، فرصت برای ایجاد فازهای شبه پایدار بسیار ریز نانومتری در دیواره‌های حباب‌های فوم فلزی فراهم خواهد آمد. این فازها در دیواره‌های حباب‌های جامد و هم‌چنین مناطق فلاتی از برخورد چند حباب فلزی، می‌توانند با قفل نمودن صفحات اتمی پر دانسیته، مزاحم حرکت یا لغزش صفحات اتمی شوند. لذا مقاومت به تغییر فرم پلاستیک را خودبه‌خود افزایش می‌دهند. به این منظور چهار سیکل پیرسازی مطابق شکل (۲)، یعنی به ترتیب سیکل‌های: (۱) abcd به مدت ۲ ساعت در دمای ۱۶۵ درجه سلسیوس و سرد شدن سریع در دما ۷ ساعت در (۲) abef به مدت ۷ ساعت در دمای ۱۶۵ درجه سلسیوس، (۳) abgh به مدت ۱۵ ساعت در

پس از مشخص شدن متغیرهای مهندسی ساختار تخلخل فوم آلیاژ ۳۵۶-xwt.%Cu و با توجه به تکرارپذیری مراحل ریخته‌گری و قرارگیری ویژگی‌های ساختار حباب‌های فلزی این فوم در بازه‌های به دست آمده برای دانسیته و PPI، می‌توان با اطمینان، طراحی آزمون‌های مکانیکی را روی این فوم اجرا کرد؛ لذا همان‌طور که در بخش آزمون‌ها اشاره شد، نمونه‌های استخوان فومی با ابعاد ذکر شده (متناسب با ابعاد قسمت مستقیم و صاف استخوان گوسفند) طبق سیکل مندرج در شکل (۲)، تحت عملیات حرارتی پیرسازی قرار گرفتند تا اثر زمان پیرسازی در ساختار فازی فوم مشخص شود. با اعمال زمان‌های مختلف در دمای ۱۶۵

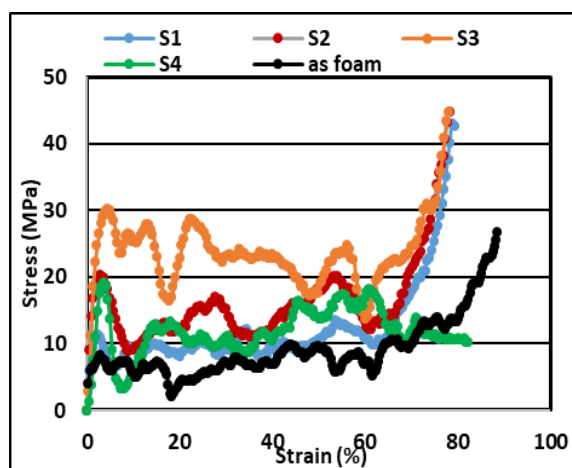
نتایج عملیات پیرسازی طبق سیکل‌های شکل (۲)، نشان داد که با افزایش زمان پیرسازی تا ۱۵ ساعت می‌توان به راحتی استحکام استخوان مصنوعی ساخته شده از فوم فلزی A356- $\text{Cu wt.}\%$  را افزایش داد و به حد استخوان مصنوعی یا کمی بالاتر از آن، ارتقا داد. در یک قضاوت ساده از مقایسه تنش تسلیم، در انتهای ناحیه الاستیک که تقریباً اولین پیک منحنی تنش- کرنش نمونه‌ها در شکل (۹) است، می‌توان ادعا کرد نمونه فوم بدون عملیات حرارتی حدود ۹ مگاپاسکال و نمونه S1 دارای استحکام تسلیم حدود ۱۱ مگاپاسکال است. نمونه‌های S2 و S4 هر دو تقریباً دارای استحکام تسلیم ۲۰ مگاپاسکال هستند. اما نمونه منتخب S3 دارای تنش تسلیم حدود ۳۱ مگاپاسکال است که از همه نمونه‌های قبلی بالاتر است.



شکل ۱۰ مقایسه استحکام استخوان تازه ساق گوسفند، استخوان مصنوعی منتخب عملیات حرارتی شده (S3(abgh) و استخوان مصنوعی بدون عملیات حرارتی پیرسازی

در شکل (۱۰) منحنی‌های تنش- کرنش برای سه نمونه خام فومی، نمونه عملیات حرارتی شده منتخب S3 (سیکل abgh) و نمونه استخوان تازه گوسفند، در کنار یکدیگر رسم شده‌اند. با مقایسه این منحنی‌ها، اثر سیکل عملیات حرارتی روی افزایش استحکام استخوان‌های مصنوعی به خوبی دیده می‌شود. از این رو در صورت استفاده از پوشش‌های سرامیکی استخوانی مانند هیدوکسی آپاتایت روی استخوان مصنوعی فومی به خوبی می‌توان با تراشکاری فوم فلزی A356-

دمای ۱۶۵ درجه سلسیوس و ۴ abkm به مدت ۲۴ ساعت در دمای ۱۶۵ درجه سلسیوس، انتخاب شد و انجام گرفت. لازم به ذکر است در انتهای سیکل‌های ۱ الی ۳، نمونه‌های استخوان فومی فلزی سریعاً در دمش هوا، سرد می‌شدند ولی نمونه سیکل ۴ در داخل کوره به آرامی سرد شد.



شکل ۹ منحنی‌های تنش- کرنش نمونه‌های استخوان مصنوعی با سیکل‌های مندرج در شکل (۲)

در مرحله بعد، مطابق شرایط و استاندارد بیان شده در قسمت آزمون‌ها، آزمون فشار روی نمونه‌های استخوان فومی خام (بدون عملیات حرارتی) و هر ۴ نمونه عملیات حرارتی شده فوق انجام گرفت. با توجه به سطح مقطع و طول بعد از له شدن کامل نمونه‌های فومی، منحنی‌های تنش- کرنش برای هر ۴ نمونه عملیات حرارتی شده در شکل (۹) با کدهای S1 الی S4 به ترتیب برای ۴ سیکل عملیات حرارتی پیرسازی فوق، رسم شد. مقایسه منحنی‌ها نشان می‌دهد که زمان ۱۵ ساعت در دمای ۱۶۵ درجه سلسیوس، استحکام استخوان مصنوعی فومی را بسیار نزدیک به نمونه استخوان طبیعی کرده است (اندکی از آن بیشتر است). اما با ادامه عملیات پیرسازی به ۲۴ ساعت در این دما، استحکام مجدداً افت کرده است. این مطلب با توجه به پدیده‌شناسی پیر سختی، مربوط به ایجاد فازهای پایدار سختی رسوبی است که از حالت شبه پایدار با سختی حداکثری به فاز پایدار (رسوب درشت‌تر) با استحکام پایین‌تر تبدیل شده‌اند [22,23]. بنابراین



مصنوعی S3 و طبیعی نشان می‌دهد که تغییر فرم هر دو استخوان مصنوعی و طبیعی از فک پایین دستگاه فشار شروع می‌شود اما این یک الزام نیست و در بعضی نمونه‌های مصنوعی از فک بالا شروع شد. لذا شروع تغییر فرم در استخوان مصنوعی به ناهمگنی و وجود حباب‌ها در دو طرف فک دستگاه برمی‌گردد. هر طرف که ساختار حباب‌های فلزی ناهمگن‌تر و تحمل بار کم‌تری دارند، از آن طرف، سازه استخوان مصنوعی تسلیم می‌شود و شروع به تغییر فرم می‌کند.

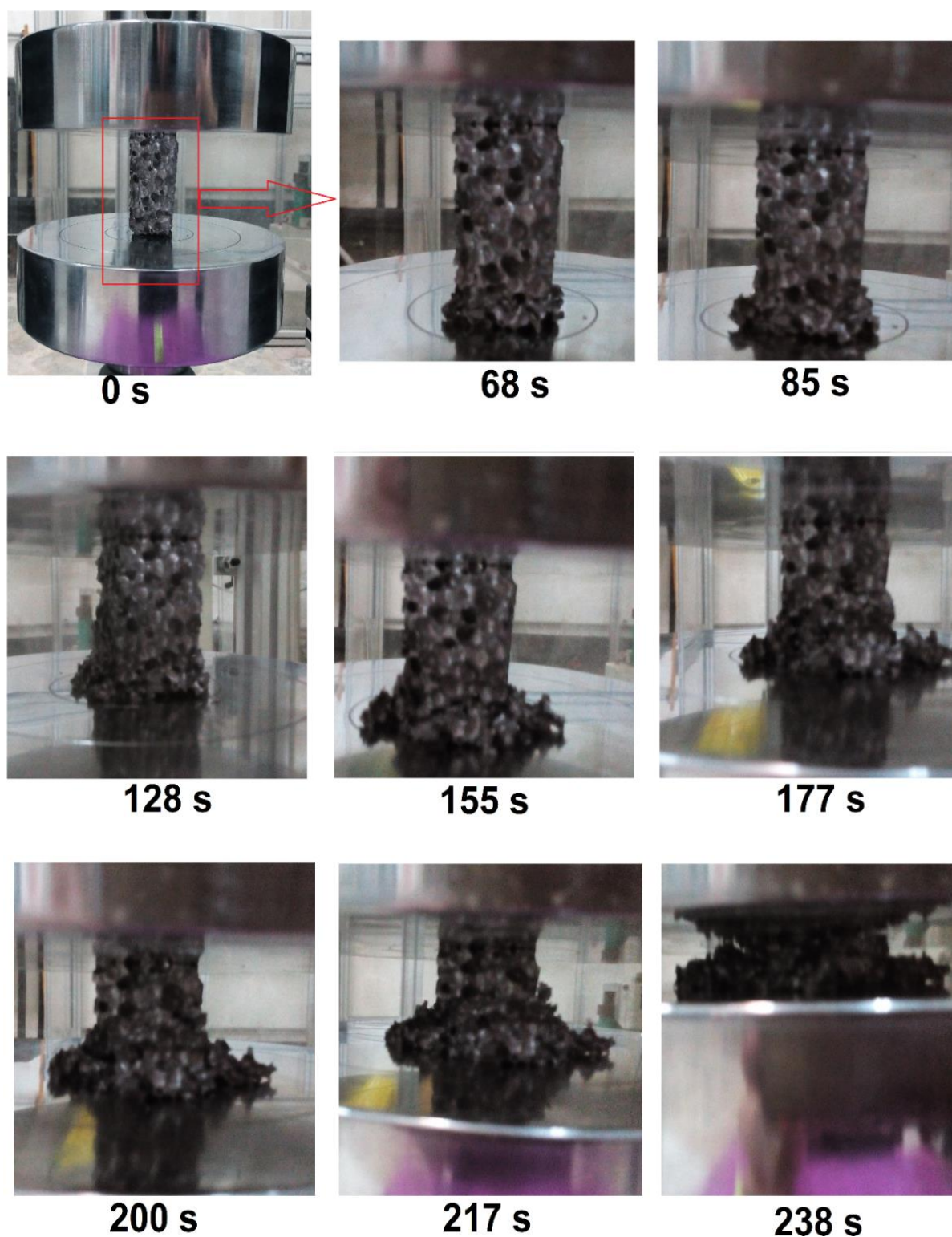
نکته قابل تأمل، نوع کاملاً متفاوت رفتار تغییر فرم و شکست دو سازه استخوان مصنوعی و طبیعی در شکل‌های (۱۱) و (۱۲) است. به علت تازه بودن استخوان طبیعی، بافت استخوانی به ذرات ریز شکسته نمی‌شود بلکه به صورت طولی در راستای استخوان، ترک‌های طولی برمی‌دارد و از قسمت پایین شروع به پیچ خوردن می‌کند و به صورت فنی دور خود می‌چرخد (مانند تراشه‌های فنی و مارپیچ هنگام تراشکاری). لذا این مطلب به علت چرب بودن مغز استخوان و تازه بودن بافت تخلخل استخوان، امری طبیعی است. اما در نمونه فوم فلزی یا همان استخوان مصنوعی، به علت ترد بودن ساختار سلول‌بسته (حباب‌های جامد) فوم فلزی، ساختار فوم از پایین فک شروع به له شدن و سپس خرد شدن و در هم ریختن ساختار متخلخل می‌کند و این حالت تخریب از پایین به بالا با اعمال نیروی فشاری در مراحل بعدی فشرده شدن، به طور مداوم رخ می‌دهد. لذا وجود خود خرده‌های حاصل از تخریب حباب‌های فلزی، و گیرکردن آن‌ها در همدیگر، تغییر مقاومت طی فشرده شدن را سبب می‌شود. این مطلب توسط پیک‌های منحنی‌های شکل (۱۰) به خوبی مشخص می‌شود. زیرا در مراحل له شدن، نرخ کارسختی فوم فلزی به صورت ناگهانی بالا می‌رود و دوباره در مراحل بعدی افت می‌کند. از خصوصیات بارز ساختارهای فوم ترد وجود نوسانات کارسختی در محدوده پلاستیک منحنی تنش- کرنش آن‌ها است [10,20] که با نتایج دیگر محققان همخوانی دارد.

wt.%Cu و روکش کاری با مواد استخوانی سازگار با بافت بدن، استخوانی مصنوعی با استحکامی دقیقاً مشابه استحکام نمونه استخوان طبیعی، تهیه کرد.

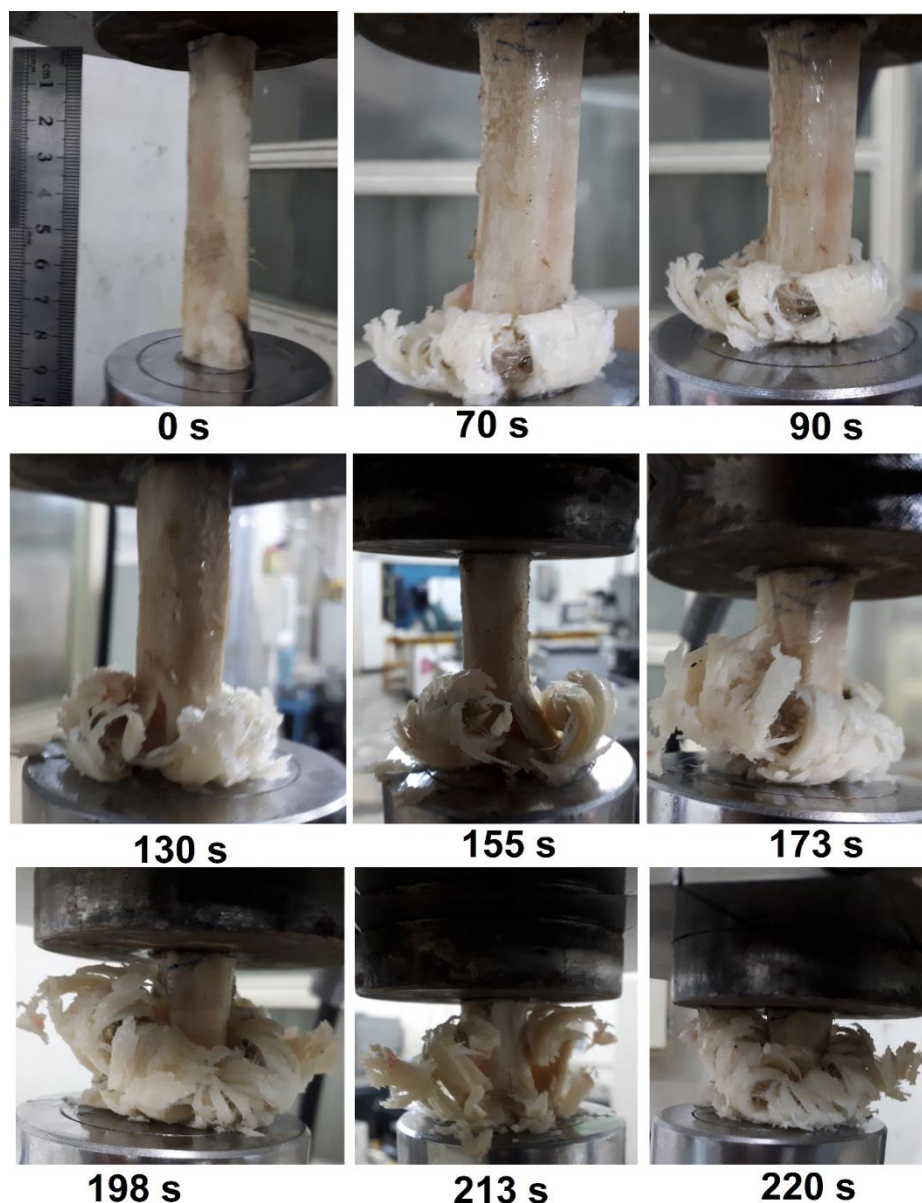
شکل (۱۱) مراحل از آزمون فشار طبق استاندارد ISO 13314 را روی استخوان مصنوعی A356-wt.%Cu نشان می‌دهد. در زیر هر تصویر، زمان بارگذاری فشاری تک‌محوره ارائه شده است تا روند تغییر فرم و شکست استخوان مصنوعی با استخوان تازه ساق گوسفند در شکل (۱۲) قابل مقایسه باشد. چند نکته بسیار مهم در شکل (۱۲) وجود دارد:

ابتدا این که آزمون فشاری طبق استاندارد مواد متخلخل (نه مواد چگال) روی بافت کامل ساق استخوان تازه گوسفند انجام شده است [11]. در داخل استخوان کورتیکال ساق گوسفند که بیشتر شبیه به یک لوله جداره نازک با مقطع بیضی مانند است (شکل ۳-ب)، مغز استخوان با بافت نرم چربی مانند وجود دارد؛ لذا تراکم بافت چربی مغز استخوان طی آزمون فشار، باعث نفوذپذیری چربی در بافت متخلخل استخوان می‌شود و با گذر از ضخامت لوله مانند استخوان، از سطح بیرونی استخوان، به صورت قطرات چربی تراوش می‌کند. این نفوذ چربی در بافت سخت استخوانی، شدیداً روی مکانیزم تغییر فرم و شکست استخوان (نسبت به استخوان غیر تازه و فاقد مغز استخوان) تأثیر می‌گذارد. دوم این که این آزمون روی کل قسمت کورتیکال استخوان تازه انجام شده است؛ یعنی درست برخلاف بسیاری از مقالات که برش کوچکی (کوین) از جداره ساق کورتیکال را جدا می‌کنند و آزمون فشار را (طبق استاندارد مواد چگال ASTM E9) انجام می‌دهند. در این صورت به علت مقیاس کوچک نمونه، به هیچ وجه اثر هندسه استخوان در رفتار بارگذاری ظاهر نخواهد شد و داده‌های به دست آمده از آزمون‌ها با نتایج واقعی استحکام استخوان در بدن تفاوت خواهد داشت. لازم به ذکر است در تهیه استخوان مصنوعی از فوم فلزی سلول‌بسته، اثر هندسه و تغییر سطح مقطع ساق استخوان در ارتفاع ۷۲ میلی‌متر آن در نظر گرفته شده است.

مقایسه دو شکل (۱۱) و (۱۲) به ترتیب برای استخوان



شکل ۱۱ روند تحمل بارگذاری فشاری روی استخوان مصنوعی در پژوهش حاضر در زمان‌های مختلف آزمون فشار تک‌محوره



شکل ۱۲ روند تحمل بارگذاری فشاری روی نمونه استخوان تازه ساق گوسفند در زمان‌های مختلف آزمون فشار تک‌محوره

مشخص می‌شود.

در شکل (۱۴) ساختار متالوگرافی همین نمونه بعد از ۵۵٪ کرنش نشان داده شده است. حالت تغییر فرم و سیلان متریال فلزی تا حدودی نسبت به شکل (۱۳) مشخص‌تر است. به عبارت دیگر در این مرحله بعد از خرد شدن حباب‌ها و در هم قفل شدن ذرات خردشده، فرایند له شدن و تغییر فرم پلاستیک رخ داده است. از این رو در انتهای منحنی تنش-کرنش نمونه‌های استخوان مصنوعی، مقدار تنش با شیب

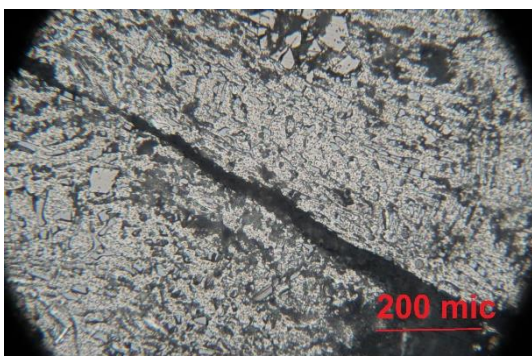
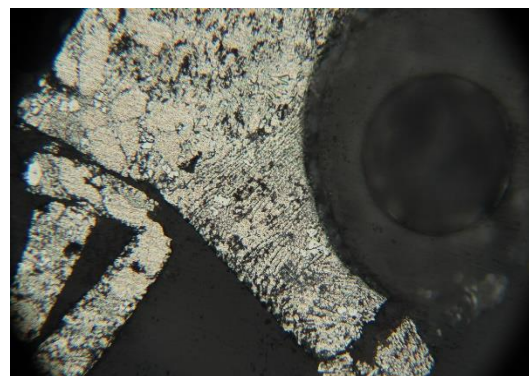
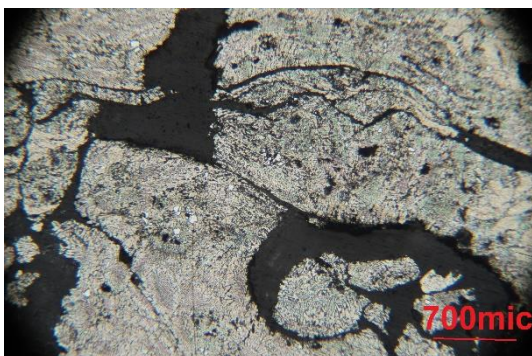
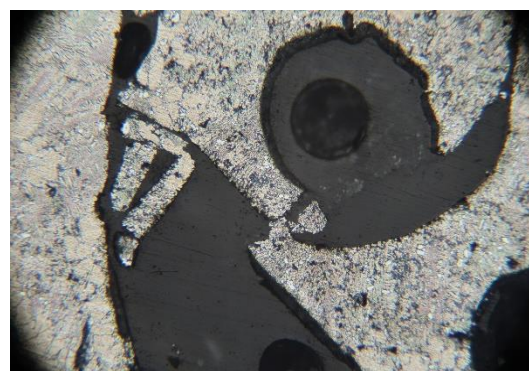
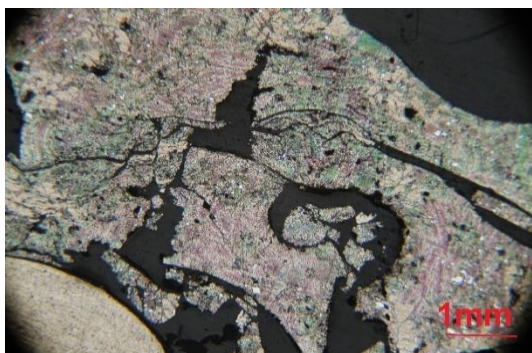
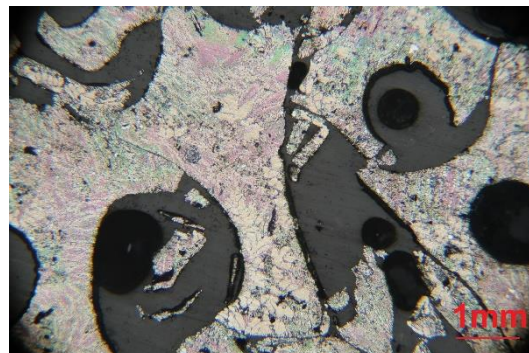
برای اثبات این ادعا، نمونه‌ای از مقطع له شده استخوان مصنوعی تهیه شد و آزمون متالوگرافی روی آن انجام گرفت. شکل (۱۳) نمایی از ساختار فوم له شده را بعد از ۲۸ درصد کرنش روی نمونه S3 نشان می‌دهد. تصاویر از بالا به پایین بزرگ‌نمایی شده‌اند و به خوبی مشخص است که دیواره‌های حباب‌های فلزی که خردشده‌اند در داخل هم رفته‌اند و به هم فشار وارد می‌کنند. بنابراین متراکم شدن فوم فلزی و افزایش دانسیته آن در طی تغییر فرم با این تصاویر به خوبی



این تفاوت اصلی رفتار استخوان طبیعی و مصنوعی توسعه داده شده در پژوهش حاضر است.

از طرف دیگر، افزودن نزدیک به ۵ درصد مس به آلیاژ A356 و انجام عملیات پیرسازی طبق سیکل‌های مندرج در شکل (۲)، نشان داد که نمونه S3 نزدیک‌ترین استحکام و رفتار منحنی تنش- کرنش را به نمونه استخوان طبیعی دارد و در نمونه بدون عملیات حرارتی اگرچه میزان کارسختی قسمت انتهای منحنی تنش- کرنش آن صعودی نیست و بسیار شبیه استخوان طبیعی است؛ ولی استحکام آن پایین‌تر از نمونه‌های پیرسازی شده است.

زیادی بالا می‌رود (کارسختی شدید در مراحل نهایی تغییر فرم).



شکل ۱۳ متالوگرافی ساختار استخوان مصنوعی پس از آزمون فشار و خرد شدن حباب‌های استخوان مصنوعی (۲۸٪ کرنش)

شکل ۱۴ متالوگرافی ساختار استخوان مصنوعی پس از آزمون فشار و له شدن حباب‌های استخوان مصنوعی (۵۵٪ کرنش)

لذا الگوی تغییر فرم در متریال استخوان مصنوعی به علت فلزی بودن و وجود ذرات سیلیس که سبب ترد شدن همراه با استحکام بخشی می‌شود، به مراتب با نمونه استخوان طبیعی تفاوت دارد. همان‌طور که در نمودار شکل (۱۰) نیز مشاهده می‌شود؛ استخوان طبیعی، اصلاً فرایند کارسختی را (قسمت افزایش شیب تنش در انتهای منحنی تنش- کرنش) ندارد و

فازهای شبه پایدار و پایدار بستگی دارد و با پیوستن مس به فاز پایدار  $\theta$ ، استحکام فلز به علت رخ دادن پدیده Over age افت می کند؛ زیرا توزیع عنصر مس در شبکه کریستالی فازهای شبه پایدار GP،  $\theta''$  و  $\theta'$  بسیار متفاوت از شبکه کریستالی  $\text{CuAl}_2$  یا فاز تنا است [22,25].

برای این منظور در شکل (۱۵) تصاویر توزیع عنصر مس به ترتیب برای نمونه خام و سیکل های abcd, abef, abgh, abkm (شکل ۲) مشاهده می شود که برای یک نمونه با یک ترکیب اولیه ثابت، ارائه شده است. در این شکل به توزیع نقاط سفیدرنگ که نماینده مناطق فازی شبه پایدار تا پایدار، طی فرایند عملیات حرارتی فوق در دمای ۱۶۵ درجه سلسیوس هستند، دقت کنید. در تصویر (۱۶-ی)، به خوبی دیده می شود که نقاط سفید (نقشه عنصری مس) تجمع یافته اند و نشانه رسوبات درشت  $\text{CuAl}_2$ ، که فازی پایدار است، هستند و به علت پیرسازی بیش از حد به وجود می آید [26-۲۸]. از این رو سیکل ماقبل آن که زمان عملیات حرارتی ۱۵ ساعت است مناسب ترین نمونه برای استحکام حداکثری است.

به کمک معادله (۱) می توان رفتار جذب انرژی فوم و استخوان را طی بارگذاری فشاری رسم نمود و به راحتی در هر بازه کرنشی مقایسه نمود.

$$E_a = \int_{\epsilon_0}^{\epsilon_d} \frac{F \cdot dx}{A \cdot h_d} \quad (1)$$

در معادله (۱)  $E_a$  انرژی بر واحد حجم، سطح مقطع نمونه،  $h_d$  ارتفاع نمونه،  $F$  نیرو و  $dx$  مقدار جابه جایی در هر لحظه طی آزمون فشار تک محوره است. عموماً براساس منابع معتبر، مقدار جذب انرژی ( $E_a$ ) تا کرنش چگالش (جایی که دانسیته فوم تقریباً به دانسیته ماده چگال نزدیک می شود و عموماً زیر ۷۵٪ کرنش است) اندازه گیری و مقایسه می شوند. اگرچه می توان این انرژی را با توجه به حد انتگرال معادله (۱) تا هر محدوده ای حساب نمود. در پژوهش حاضر، مقدار انرژی جذب شده با توجه به منحنی تنش - کرنش استخوان طبیعی، برابر ۶۵ درصد کل کرنش انتخاب شد. رفتار جذب انرژی تمام نمونه های استخوان مصنوعی و طبیعی در شکل (۱۷-الف) ارائه شده است. مشاهده می شود که رفتار جذب انرژی نمونه S3 و نمونه استخوان طبیعی بسیار نزدیک به هم

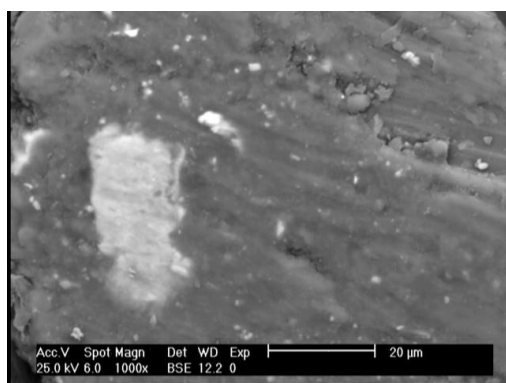
برای بررسی استحکام نمونه S3 نسبت به سایر نمونه ها و همچنین نمونه بدون عملیات حرارتی، به کمک میکروسکوپ الکترونی از نمونه های متالوگرافی استخوان مصنوعی (بعد از پوشش دهی با طلا) تصاویر SEM گرفته شد. این تصاویر از منطقه فلاتی بین حباب ها، همانند شکل (۶-د)، در مد تفرق اشعه X تهیه شده است تا بتوان توزیع عنصری را در زمینه و فازهایی که در محل برخورد حباب ها یا جداره حباب ها وجود دارند، به دست آورد. شکل (۱۵) نمایی از این آنالیز عنصری را برای نمونه استخوان مصنوعی بدون عملیات حرارتی (در ناحیه فلاتی برخورد حباب ها) نشان می دهد. با توجه به این که طی فرایند ریخته گری، از پودر  $\text{TiH}_2$  به عنوان عمل حبابزا استفاده شده است، در تصویر (۱۵-الف و ب)، به خوبی مشخص است که لکه سفیدرنگ، اثر پودر  $\text{TiH}_2$  است و آنالیز عنصری در تصویر (۱۵-د) به خوبی این مطلب را اثبات می کند. مقدار توزیع عنصر مس، در تصویر (۱۵-ی)، به علت عدم تشکیل فازهای شبه پایدار به نام مناطق GP بسیار جزئی است [23-۲۸]. از این رو با انجام عملیات حرارتی و ایجاد رسوبات بسیار کوچک در مقیاس نانومتری انتظار می رود که توزیع عنصری مس بیشتر مشهود شود.

از این رو سعی شد یک نمونه شاهد از فوم فلزی A356-Cu wt.% به عنوان نمونه ای از استخوان مصنوعی، بعد از متالوگرافی همراه با نمونه هایی که عملیات حرارتی شده اند، در کوره قرار داده شود و به ترتیب بعد از زمان های ۲ و ۷ و ۱۵ و ۲۴ ساعت، این نمونه پولیش و به کمک میکروسکوپ الکترونی، آنالیز عنصری شود. توزیع عنصر مس در این نمونه مشخص می شود و با حالت اول (بدون عملیات حرارتی یا تصویر ۱۵-ی) مقایسه می شود تا ایجاد فازهای شبه پایدار یا مناطق GP طی فرایند پیرسازی در دمای ۱۶۵ درجه سلسیوس به خوبی مشخص شود.

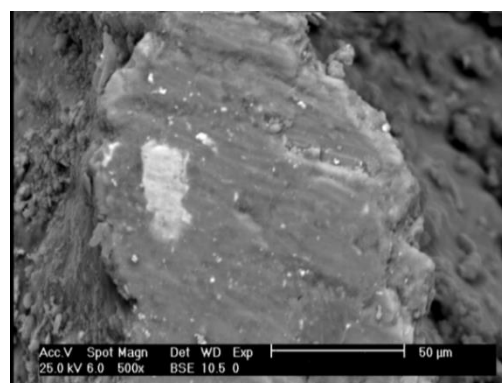
به عبارت دیگر، اگر نقاط توزیع و فراوانی نقاط سفیدرنگ در تصویر (۱۵-ی)، که مربوط به نمونه بدون عملیات حرارتی پیرسازی است، مبنای مقایسه توزیع عنصر مس در زمینه قرار گیرد؛ طی عملیات حرارتی پیرسازی باید با تشکیل فازهای شبه پایدار، ابتدا مناطق GP سپس به ترتیب مناطق  $\theta''$  و  $\theta'$  و نهایتاً فاز پایدار  $\theta$  با ترکیب فلزی  $\text{CuAl}_2$  رسوب کند [24,25]. لذا توزیع عنصر مس دقیقاً به این

یکسان بوده است و از ۳۰٪ تا ۴۵٪ کرنش، اختلاف در رفتار جذب انرژی ظاهر می شود و از ۳۵٪ کرنش به بالا، جذب انرژی استخوان مصنوعی S3 بالاتر از استخوان مصنوعی قرار می گیرد. از این رو در هنگام تصادف در ریز ۳۰ درصد کرنش، رفتار این نمونه S3 مشابه نمونه استخوان طبیعی خواهد بود.

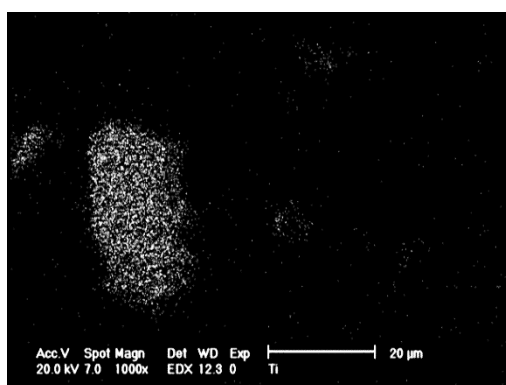
هستند، در صورتی که برای سایر نمونه ها اختلاف انرژی  $E_a$  با استخوان طبیعی بسیار زیاد و غیر قابل قبول است، حتی اگر تنش تسلیمی نزدیک به نمونه استخوان طبیعی داشته باشند. با دقت در رفتار نمونه S3 و استخوان طبیعی مشخص می شود که تا کرنش های ۳۰٪ رفتار هر دوی آنها در جذب انرژی



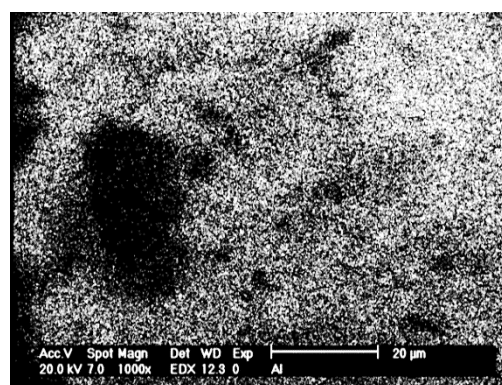
(ب)



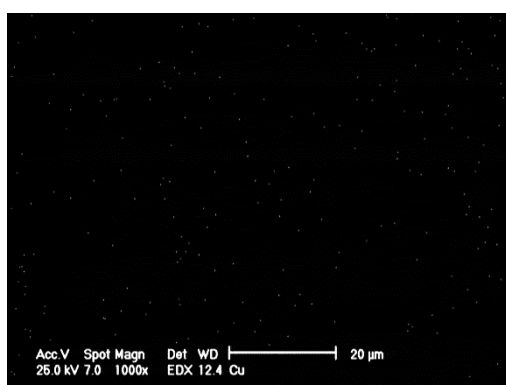
(الف)



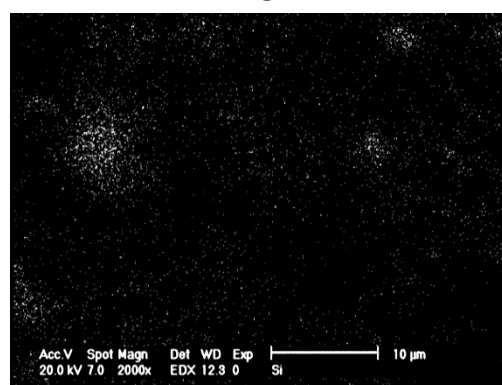
(د)



(ج)



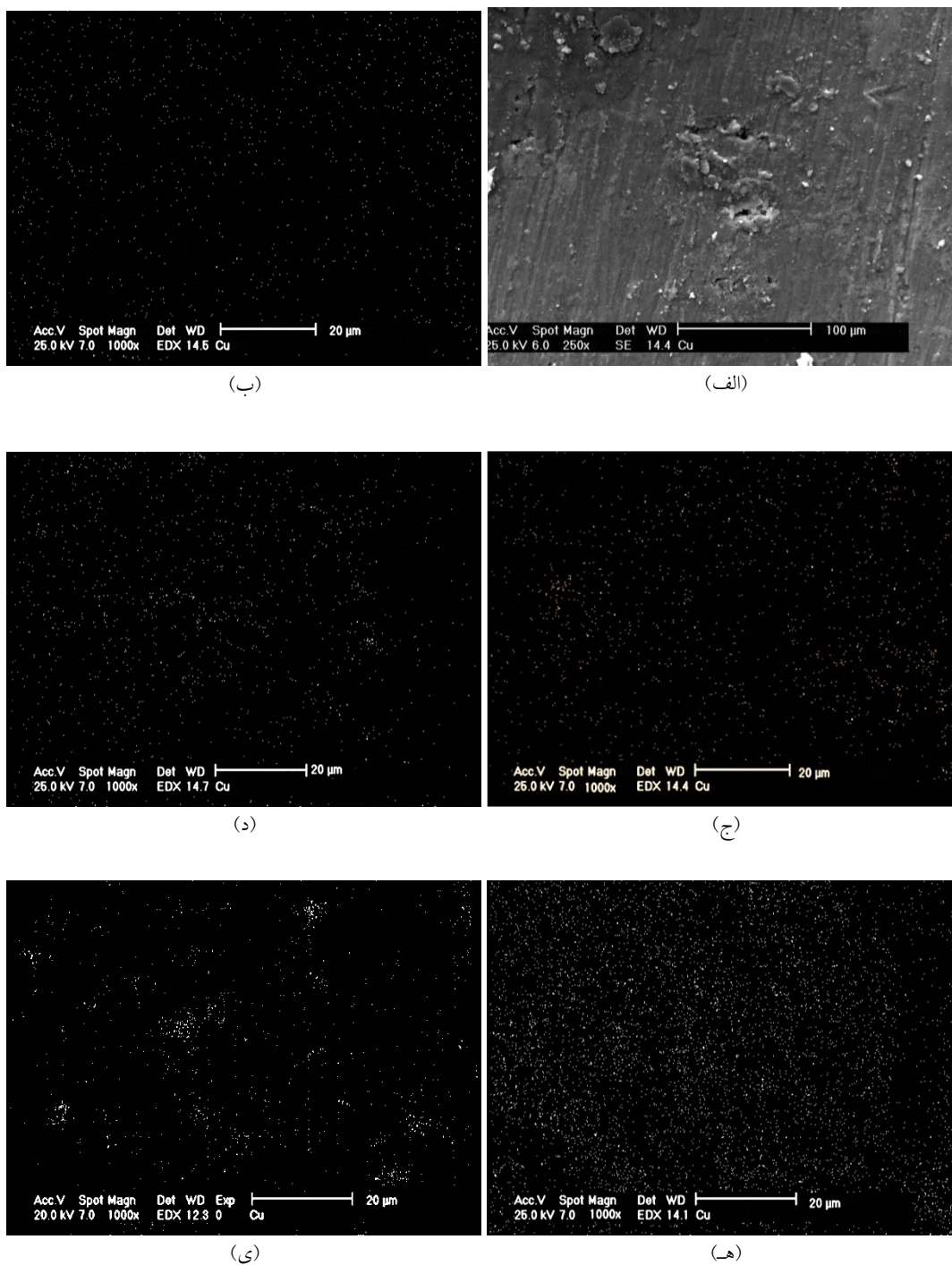
(ی)



(ه)

شکل ۱۵ توزیع عنصری به کمک میکروسکوپ الکترونی در مد x-ray، در منطقه فلاتی حباب های استخوان مصنوعی بدون عملیات حرارتی (شکل ۶-د)





شکل ۱۶ تغییرات توزیع عنصر مس به کمک میکروسکوپ الکترونی در مد x-ray، در یک نمونه با ترکیب شیمیایی ثابت طی عملیات پیرسازی در دمای ۱۶۵ درجه سلسیوس: (الف) نمونه مورد آزمون، (ب) نمونه بدون عملیات حرارتی، (ج) نمونه S1 دو ساعت، (د) نمونه S2 هفت ساعت، (هـ) نمونه S3 پانزده ساعت (نمونه منتخب)، (ی) نمونه S4 بیست و چهار ساعت (Over age)

(۱۰) مشاهده شود) مقدار انرژی جذب شده نمونه‌ها طی بارگذاری فشاری، اندازه‌گیری و با نمونه استخوان طبیعی

برای صحنه‌گذاری نمونه منتخب در قدم بعدی تلاش شد که در یک میزان کرنش ثابت ۶۰٪ (نمودار شکل ۹) و

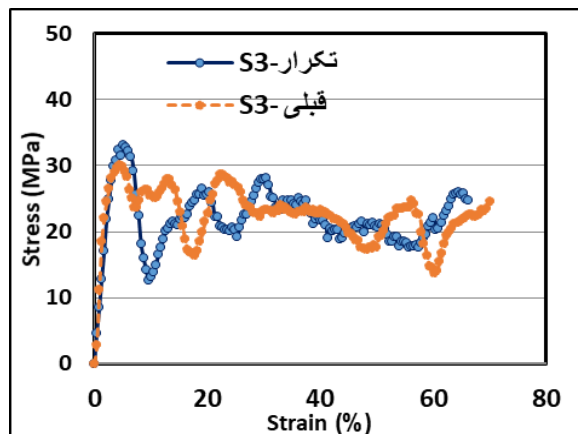
مقایسه شود. شکل (۱۷) نتایج این اندازه‌گیری را برحسب ژول بر مترمکعب، نشان می‌دهد.

همان‌طور که در متون علمی ذکر شده است مقدار انرژی جذب شده در آزمون فشار برای فوم‌های فلزی به ناحیه فلاتی پس از تسلیم فوم تا مقدار کرنش چگالش وابسته است و هرچه این تنش در بین این دو نقطه (کرنش تسلیم تا کرنش چگالش) تغییر نکند و همراه با کار سختی نباشد، برای استفاده در جذب انرژی مطلوب‌تر است. منتهی فوم‌های مورد مصرف در پژوهش حاضر، همانند سایر فوم‌های آلومینیم با ساختار کریستالی FCC، رفتار ترد دارند و طی کرنش پلاستیک، دچار کار سختی همراه با شکست ساختار سلولی به صورت مداوم یا سیکلی می‌شوند و عملاً تنش در این ناحیه فلاتی نوسان می‌کند. این رفتار مشابه رفتار استخوان طبیعی تازه است؛ لذا برای دقت بیشتر و اعتبارسنجی این ادعا، مقدار انرژی این ناحیه براساس معادله (۱) محاسبه و مقدار عددی این جذب انرژی برای استخوان‌های مصنوعی و استخوان تازه گوسفندی، در شکل (۱۷) مقایسه شد. مطابق شکل (۱۷-الف) از مقایسه جذب انرژی بین نمونه‌های مختلف عملیات حرارتی و نمونه خام با نمونه استخوان طبیعی مشخص می‌شود که نمونه S3 بیش‌ترین جذب انرژی را دارد و نسبت به نمونه استخوان طبیعی ۲۳٪ جذب انرژی بیشتری طی تغییر فرم در یک کرنش ثابت داشته است (۱۳/۶۰ در مقابل ۱۱/۸۵ مگاژول بر مترمکعب). در عین حال تنش متوسط پایا برای استخوان مصنوعی S3 برابر ۲۲/۱۰ مگاپاسکال و استخوان تازه ساق پای گوسفند ۱۹/۴۱ است که بسیار به هم نزدیک هستند. در شکل (۱۷) دیده می‌شود که با افزایش زمان پیرسازی به علت تشکیل فازهای شبه‌پایداری که قبلاً بیان شد؛ تعداد رسوبات نانومتری شبه‌پایدار، تا زمان ۱۵ ساعت به صورت مداوم افزایش می‌یابد و بعد از آن، به علت پیوستن رسوبات نانومتری به همدیگر و تبدیل به فاز کاملاً پایدار تنها با ترکیب  $\text{CuAl}_2$  در حد میکرون، به علت کاهش تعداد رسوبات شبه‌پایداری که وظیفه قفل کردن صفحات اتمی را طی لغزش ناشی از بار فشاری دارند

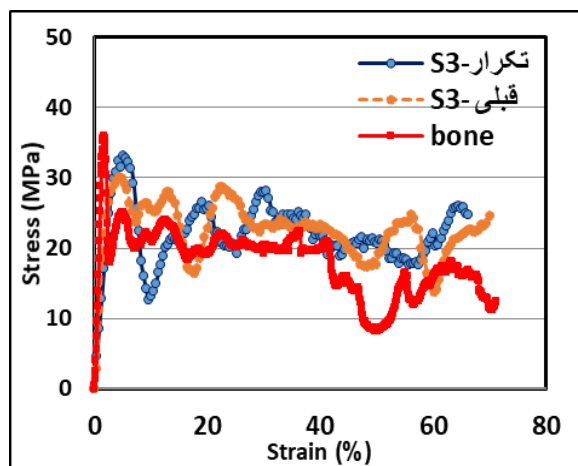
[20,25]، استحکام در نمونه S4 و به تابعیت آن، انرژی جذب (سطح زیر منحنی تنش-کرنش) شدیداً افت می‌کند (از ۱۳/۶۵ به ۶/۹۸ مگا ژول بر مترمکعب می‌رسد) و تقریباً همانند نمونه S1 می‌شود. این افت انرژی جذب همان‌طور که قبلاً بیان شد به علت پدیده بیش‌ازحد پیرسازی یا Over age است که از تبدیل رسوبات پراکنده شبه‌پایدار نانومتری به رسوبات پایدار میکرونی (درشت شدن رسوبات) به وجود می‌آید. از این رو تأیید می‌شود که نمونه استخوان مصنوعی منتخب، نمونه S3 با ۱۵ ساعت عملیات حرارتی در دمای ۱۶۵ درجه سلسیوس است.

برای اطمینان از این مطلب، یک‌بار دیگر نمونه استخوان مصنوعی تهیه شد و سیکل abgh از شکل (۲) روی نمونه جدید انجام شد. سپس نمونه جدید S3 تحت آزمون فشار در شرایطی همانند شرایط قبل قرار گرفت. منحنی تنش-کرنش مهندسی به دست آمده تا ۷۰٪ کرنش، مجدداً با نمونه S3 قبلی مقایسه شد. شکل (۱۸-الف) مقایسه این دو منحنی را در کنار یکدیگر نشان می‌دهد. مشخص است که رفتار این دو منحنی S3 قبلی و جدید بسیار به همدیگر نزدیک است و نتایج تکرارپذیری کم‌تر از ۸ درصد، اختلاف دارند. بنابراین بار دیگر شرایط عملیات حرارتی پیرسازی فوم آلایژ A356-Cu در دمای ۱۶۵ درجه سلسیوس به مدت ۱۵ ساعت به عنوان نمونه منتخب برای جایگزینی به جای استخوان طبیعی تأیید می‌شود. در شکل (۱۸-ب) مقایسه استخوان مصنوعی پیرسازی شده در کنار استخوان طبیعی گوسفند نشان داده شده است و تأییدی بر طراحی مناسب سیکل عملیات طراحی استخوان مصنوعی است.

به کمک انرژی جذب شده طی تغییر فرم استخوان‌های مصنوعی و طبیعی در شکل (۱۷) می‌توان مقدار تنش پایا یا فلاتی (Plateau Stress) را که از ویژگی‌های ساختاری متخلخل است، محاسبه نمود. از این رو اگر معیار کرنش ۶۰ درصد برای جذب انرژی مورد تأیید قرار گیرد، به کمک انرژی می‌توان مقدار تنش پایا را که از تقسیم سطح زیر منحنی تنش-کرنش بر طول ناحیه کرنش ۶۰ درصد است،

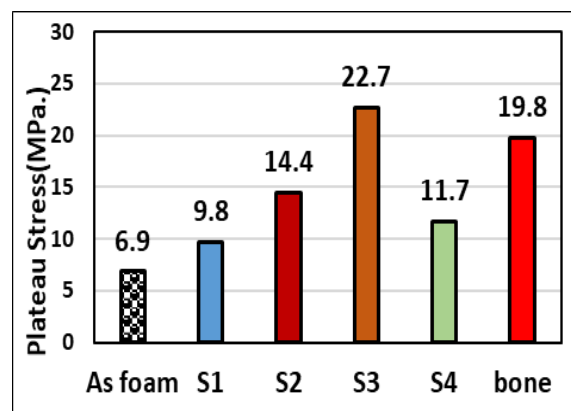


(الف)



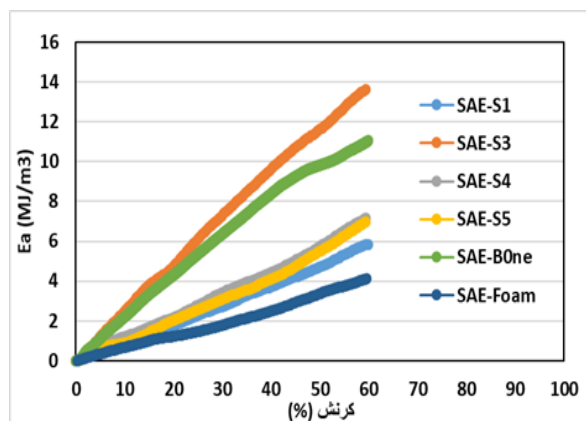
(ب)

شکل ۱۸ تکرارپذیری نمونه S3 که تا کرنش ۷۰٪ رسم شده است:  
(الف) تکرارپذیری نمونه S3، (ب) مقایسه S3 با استخوان طبیعی

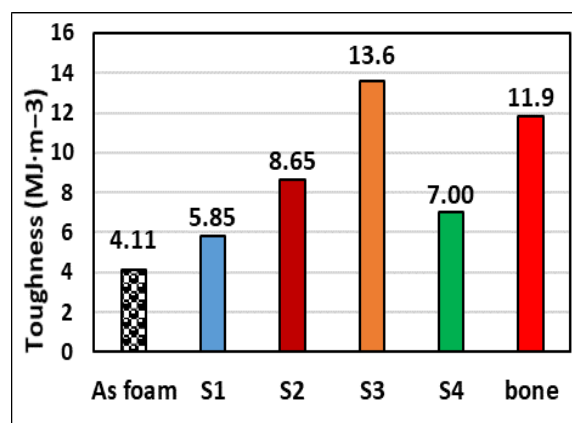


(الف)

به دست آورد (۲۹). نتیجه این محاسبات در شکل (۱۹-الف) ارائه شده است. در این نمودار نیز به خوبی دیده می شود نمونه S3 از لحاظ تنش پایا به نمونه استخوان تازه طبیعی نزدیک تر است. در شکل (۱۹-ب) هم چنین تنش تسلیم با مشخصه اولین پیک انتهای ناحیه الاستیک از نمودارهای تنش-کرنش شکل های (۹) و (۱۰) استخراج و در کنار تنش پایا ارائه شده است.



(الف)



(ب)

شکل ۱۹ (الف) مقایسه رفتار جذب انرژی SAE فشاری تا کرنش ثابت ۶۰٪ برای استخوان های طبیعی و مصنوعی، (ب) مقایسه انرژی کل جذب شده طی بارگذاری فشاری از کرنش تسلیم تا کرنش ثابت ۶۰٪ (منطقه فلاتی) برای استخوان های طبیعی و مصنوعی

مکانیکی بااستخوان طبیعی تازه است که طی فرایند بارگذاری فشاری قرار گرفته است.

۳. تنش پایا و تنش تسلیم برای نمونه S3 به ترتیب برابر ۲۲/۷ و ۳۰/۷ مگاپاسکال هستند درحالی که برای استخوان طبیعی و تازه ساق گوسفند به ترتیب ۱۹/۸ و ۳۳/۵ مگاپاسکال است و این اختلاف خواص کم تر از ۸٪ است.

۴. انرژی جذب شکست تا کرنش ۶۰٪ طی بارگذاری فشاری شبه استاتیکی تک محوره، با سرعت فک ۲۰ میلی متر بر دقیقه طبق استاندارد بین المللی ISO 13314 برای مواد متخلخل، برای استخوان طبیعی موردنظر  $11/9 \text{ MJ/m}^3$  و برای استخوان مصنوعی منتخب S3، برابر  $13/6 \text{ MJ/m}^3$  است.

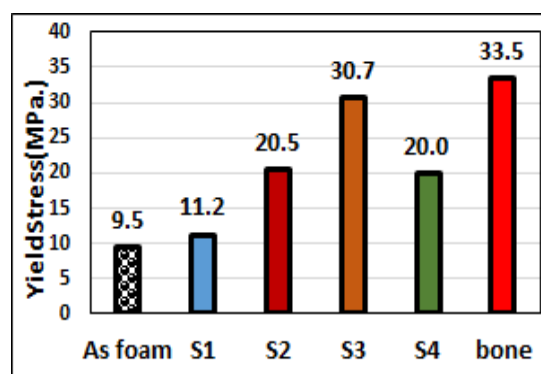
۵. مکانیزم افزایش استحکام استخوان های مصنوعی در دمای ۱۶۵ درجه سلسیوس با زمان پیرسازی، تبدیل شبه رسوب (مناطق نانومتری GP) با غلظت بالای مس، به فازهای شبه پایدار  $\theta''$  و  $\theta'$  رقیق از مس است.

۶. ادامه زمان پیرسازی در استخوان های مصنوعی، به بالای ۱۵ ساعت، به علت تجمع و رشد رسوبات نانومتری فوق و تبدیل به رسوبات پایدار میکرومتری مانند  $\text{CuAl}_2$ ، سبب کاهش ناگهانی استحکام استخوان های مصنوعی می شود.

۷. به کمک درصد مس در فوم فلزی سلول بسته  $\text{A356} + \text{wt.\% Cu}$  و تکنیک عملیات حرارتی پیرسازی می توان به استخوان های مصنوعی با استحکام موردنظر طراحان و مهندسان پزشکی، در جای گذاری استخوان مصنوعی به جای استخوان طبیعی رسید.

### تشکر و قدردانی

بدین وسیله نویسندگان مقاله، از شرکت دانش بنیان علوم و فناوری های نوین رهیافت، بابت فراهم آوردن امکانات ریخته گری برای تهیه فوم سلول بسته A356 و همچنین حمایت مالی آن شرکت، کمال تشکر و قدردانی را دارد. همچنین از همیاری آقای مهندس حسین سلطانی، حامد والی و خانم فائزه جوادزاده تشکر می نمایند



(ب)

شکل ۱۹ مقایسه تنش ها بین استخوان های مصنوعی و طبیعی بر اساس انرژی جذب تا کرنش ثابت ۶۰٪، (الف) تنش پایا یا فلات (Plateau) T (ب) تنش تسلیم

### نتیجه گیری

در این پژوهش با افزودن فلز مس به مذاب آلایژ آلومینیوم-سیلیسیم (A356 آمریکایی) و استفاده از ماده حبابزای  $\text{TiH}_2$ ، فوم فلزی سلول (حباب) بسته به صورت موفقیت آمیز تهیه شد. از این فوم ها، استخوان های مصنوعی با ابعاد کاملاً مشابه با ساق استخوان تازه گوسفندی تهیه شد و هرکدام تحت عملیات حرارتی پیرسازی در دمای ۱۶۵ درجه سلسیوس در زمان های مختلف قرار گرفتند. استحکام فشاری و جذب انرژی شکست استخوان های مصنوعی، طی بارگذاری فشاری تک محوره، اندازه گیری شد و مقایسه آن ها با استخوان تازه ساق گوسفند به شرح زیر است:

۱. استخوان مصنوعی تهیه شده، بدون داشتن سیکل عملیات حرارتی پیرسازی، دارای استحکام بسیار پایین تری نسبت به استخوان طبیعی تازه است. استحکام تسلیم استخوان مصنوعی تهیه شده از فوم  $\text{A356} + \text{wt.\% Cu}$  بدون پیرسازی، برابر ۹ MPa و استحکام تسلیم استخوان تازه ۳۳ MPa است.

۲. استخوان مصنوعی عملیات حرارتی شده با مشخصه S3، مربوط به عملیات پیرسازی در دمای ۱۶۵ درجه سلسیوس و زمان ۱۵ ساعت، بهترین نمونه از لحاظ مشابهت رفتار

### مراجع

1. Safadi, F. F., Barbe, M., Abdelmagid, S., Rico, M., Aswad, R. A., Litvin, J., et al., "Bone Structure,

- Development and Bone Biology", In: Khurana JS, editor. *Bone Pathology*. 2 ed. Philadelphia, U.S.A: Humana Press, Pp. 1-50, (2009).
2. Marolt, D., Knezevic, M., Novakovic, G.V., "Bone Tissue Engineering with Human Stem Cells", *Stem Cell Res Ther*, Vol. 1(2), Pp. 1-10, (2010).
  3. Kini, U., Nandeesh, B. N., "Physiology of Bone Formation, Remodeling and Metabolism", In: Fogelman I, Gnanasegaran, Gopinath, van der Wall, Hans (Eds.), editor. *Radionuclide and Hybrid Bone Imaging*. India, Chap. (2), Pp. 29-57, (2012).
  4. Kheirallah, M., Almeshaly, H., "Bone Graft Substitutes for Bone Defect Regeneration", *A collective review. International Journal of Dentistry and Oral Science (IJDOS)*, Vol. 03(5) Pp. 247-57, (2016).
  5. Julia Kenkre, J. B., "The Bone Remodelling Cyc", *Ann Clin Biochem*, Vol. 55(3), Pp. 308-27, (2017).
  6. Alobeedallah, H., Ellis, J. L., Rohanizadeh, R., Coster, H. G. L., Dehghani, F., "Preparation of Nanostructured Hydroxyapatite in Organic Solvents for Clinical Applications", *Trends in Biomaterials and Artificial Organs*, Vol. 25(1), Pp. 12-9, (2011).
  7. Armas, L. A. G., Lappe, J. M., Heaney, R. P., "Calcium, Bone Strength and Fractures", In: Orwoll ES, Bilezikian JP, Vanderschueren D, editors. *Osteoporosis in men 2ed*: Elsevier Inc, Pp. 235-41, (2010).
  8. Warden, S. J., Davis, I. S., Fredericson, M., "Management and Prevention of Bone Stress Injuries in Long-Distance Runners", *J Orthop Sports Phys Ther*, Vol. 44(10), Pp. 749-65, (2014).
  9. Oryan, A., Monazzah, S., Bigham-Sadegh, A., "Bone Injury and Fracture Healing Biology", *Biomedical Environ Sci*, Vol. 28(1), Pp. 57-71, (2015).
  10. Guden M, Celik, E., Cetiner, S., Aydin, A., *Metals Foams for Biomedical Applications: Processing and Mechanical Properties*. Biomaterials. *Advances in Experimental Medicine and Biology*. 5532004. Pp. 257-66.
  11. Matsushita, T., Fujibayashi, S., Kokubo, T., "Titanium Foam for Bone Tissue Engineering", In: Wen C, editor. *Metallic Foam Bone: Processing, Modification and Characterization and Properties*: Woodhead Publishing, Vol. 17, Pp. 10-130, (2017).
  12. Madgule, M., Sreenivasa, C. G., Shivakumar, K.M., "A Review on Production of Aluminium Metal Foams", *International Conference on Advances Manufacturing, Materials and Energy Engineering*; 2-4 March; Karnataka, India: IOP Publishing Ltd, Vol. 376, Pp. 1-12, (2018).
  13. Shahsavan, M., Mirbagheri, S. M. H., "Production of Open Cell Copper Foam and Assessment of Foam Substructure", *Journal of New Materials*, Vol. 8(31), Pp. 1-16, (2018).
  14. Banhart, J., "Manufacture, Characterisation and Application of Cellular Metals and Metal Foams", *Progress in Materials Science*, Vol. 46, Pp. 559-632, (2001).
  15. Ashby, M., Evans, T., Fleck, N., Hutchinson, J. W., Wadley, H. N. G., Gibson, L. J., "Metal Foams: A Design Guide", Amsterdam, The Netherlands: Elsevier; (2000).
  16. Koloushani, M., Hedayati, R., Sadighi, M., Mohammadi-Aghdam, M., "CT-Based Micro-Mechanical Approach to Predict Response of Closed-Cell Porous Biomaterials to Low-Velocity Impact", *Journal of Imaging*, Vol. 4(3), Pp. 49-64, (2018).

17. Mirzaali, M. J., Mussi, V., Vena, P., FlaviaLibonati, Vergani, L., "Strano M. Mimicking the Loading Adaptation of Bone Microstructure with Aluminum Foams", *Materials & Design*, Vol. 126, Pp. 207-18, (2017).
18. Mirzaali, M. J., Libonati, F., Vena, P., Mussi, V., Vergani, L. M., Strano. Investigation of the Effect of Internal Pores Distribution on the Elastic Properties of Closed-Cell Aluminum Foam: A Comparison with Cancellous Bone. *Procedia Structural Integrity*, Vol. 2, Pp. 1285-94, (2016).
19. Gibson, L. J., Ashby, M. F., "Cellular Solids: Structure and Properties", 2 ed. Cambridge, UK: Cambridge University Press, (1997).
20. Mirbagheri, S. M. H., Vali, H., Soltani, H., "Heat Treatment of Closed-Cell A356+ 4 wt.% cu+ 2 wt.% Ca Foam and its Effect on the Foam Mechanical Behavior", *Journal of Materials Engineering and Performance*, Vol. 26(1), Pp. 14-27, (2016).
21. ISO 13314:2011. Mechanical Testing of Metals — Ductility Testing — Compression Test for Porous and Cellular Metals, (2011).
22. Kelly, A., Nicholson RB., Precipitation Hardening, *Progress in Materials Science.: Pergamon Press*, Chap:4, Pp. 171-203, (1963).
23. Zhu, X-H., Lin, Y. C., Wu, Q., Jiang, Y-Q., "Effects of Aging on Precipitation Behavior and Mechanical Properties of a Tensile Deformed Al-Cu Dilloy", *Journal of Alloys and Compounds*, Vol. 843, Pp. 23-39, (2020).
24. Gazizov, M., Kaibyshev, R., "Effect of Pre-Straining on the Aging Behavior and Mechanical Properties of an Al-Cu-Mg-Ag Alloy", *Materials Science and Engineering: A*, Vol. 625, Pp. 119-30, (2015).
25. Chung, T-F., Yang, Y-L., Hsiao, C-N., Li, W-C., Huang, B-M., Tsao, C-S., et al., "Morphological Evolution of GP Zones and Nanometer-Sized Precipitates in the AA2050 Aluminium Alloy", *International Journal of Lightweight Materials and Manufacture*, Vol. 1(3), Pp. 142-56, (2018).
26. Wang, S. C., Starink, M. J., Gao, N., "Precipitation Hardening in Al-Cu-Mg Alloys Revisited", *Scripta Materialia*, Vol. 54(2), Pp. 287-91, (2006).
۲۷. نیری، م.، خواجه علی، م.، میرباقری سمح.، «بررسی رفتار فشار شبه استاتیکی قوطی‌های پر شده با کامپوزیت فومی Al-Si-SiC-xFe»، مهندسی متالورژی و مواد، سال ۲۷، شماره ۲، صص. ۲۴-۹، (۱۳۹۵).
۲۸. میرباقری، سمح.، والی، ح.، سلطانی، ح.، «خواص مکانیکی فوم فلزی A356 غنی شده با مس و اثر عملیات پیرسازی بر آن»، دوره ۱۷، شماره ۵۳، بهار، صص. ۵۵-۴۹، (۱۳۹۳).
29. Salehi, M., Mirbagheri, S. M. H., Ramiani, A. J., "Deformation Behavior and Crashworthiness of Functionally Graded Metallic Foam-Filled Tubes under Drop-Weight Impact Testing", *Metallurgical and Materials Transactions A*, Vol. 51(10), Pp. 5120-38, (2020).